

УДК 669.15-194.55:621.785.7

**ВЛИЯНИЕ ТЕМПЕРАТУРЫ ОТПУСКА  
НА МЕХАНИЧЕСКИЕ СВОЙСТВА СТАЛИ 10X9B1M1ФБР****А.Ю. Кипелова, М.В. Однобокова, И.В. Дудзич**Белгородский государственный университет  
ул.Победы, 85, г.Белгород, 308015, Россия, e-mail: [kipelova@bsu.edu.ru](mailto:kipelova@bsu.edu.ru)

Изучено влияние термической обработки на статические механические свойства стали 10X9B1M1ФБР.

Ключевые слова: стали мартенситного класса, отпуск, микроструктура, механические свойства.

**1. Введение**

В последние десятилетия высокохромистые жаропрочные стали мартенситного класса рассматриваются как перспективные материалы для компонентов энергоблоков электростанций нового поколения, работающих на угле [1, 2]. В настоящее время за рубежом разработан целый ряд жаропрочных сталей мартенситного класса, работающих при температурах пара  $\leq 620^\circ\text{C}$ . Их режим термической обработки представляет собой нормализацию с последующим отпуском. Параметры структуры, формирующиеся в сталях мартенситного класса при отпуске, определяют весь комплекс механических свойств теплотехнических сталей. Соответственно, результаты детальных исследований процессов, происходящих при отпуске в сталях мартенситного класса, позволят разработать оптимальные режимы термообработки, так как дадут необходимую информацию для управления их структурой и механическими свойствами. В свою очередь, это позволит существенно повысить эксплуатационные свойства жаропрочных сталей мартенситного класса.

Целью настоящей работы является определение зависимости механических свойств стали 10X9B1M1ФБР от температуры отпуска.

**2. Методика проведения исследований**

Была исследована жаропрочная сталь 10X9B1M1ФБР следующего химического состава (% массы): 0,13C, 9,5Cr, 0,95W, 1,04Mo, 0,2V, 0,06Nb, 0,05N, 0,005B, 0,03Mn, 0,01Ni, 0,12Si, 0,01P, 0,01S, вся остальная доля массы – Fe. Образцы подвергали нормализации от  $1060^\circ\text{C}$  и отпуску в интервале температур 200 –  $800^\circ\text{C}$  в течение 3 ч. Определяли влияние температуры на характеристики статической прочности и пластичности. Для этого образец после отпуска при заданной температуре в обычной печи охлаждали. Затем его заново нагревали до этой же температуры в печи универсальной испытательной машины "Instron 5882" и испытывали на растяжение со скоростью деформации  $1 \cdot 10^{-3} \text{с}^{-1}$ .

Использовались плоские образцы с рабочей частью длиной 25 мм и поперечным сечением  $7 \cdot 3$  мм.

Для экспериментируемых образцов определялось влияние температуры отпуска на их твёрдость при комнатной температуре. Твёрдость по Бринеллю измерялась с помощью цифрового твёрдомера фирмы Wolpert 3000BLD при нагрузке 29400 Н с применением шарика диаметром 10 мм из твёрдого сплава. Анализ тонкой структуры образцов осуществлялся с использованием просвечивающего электронного микроскопа (ПЭМ) Jeol

"JEM-2100" с ускоряющим напряжением 200 кВ. Определение характеристик структуры мартенсита выполняли с использованием сканирующего электронного микроскопа FEI "Quanta 600F", оснащённого анализатором дифракции обратно рассеянных электронов. По данным дифракции обратно рассеянных электронов, строили карты разориентировок с учётом угловых разориентировок выше  $2^\circ$ .

### 3. Исходная микроструктура

Микроструктура, сформировавшаяся в стали 10X9B1M1ФБР после нормализации от  $1060^\circ\text{C}$ , показана на рис. 1. По данным дифракции обратно рассеянных электронов, 55% разориентировки границ являются высокоугловыми (рис. 1а), при этом 20% границ имеют кристаллографические параметры, которые в соответствии с критерием Брэндона позволяют отнести их к специальным границам. Средний угол разориентировки границ составил  $32^\circ$ . Нужно отметить, что представленные данные по доле высокоугловых границ несколько завышены, поскольку при построении карт разориентировок не учитывали малоугловые границы с разориентировкой менее  $2^\circ$ .

Тонкая структура стали 10X9B1M1ФБР представлена на рис. 1б. Поперечный размер реек пакетного мартенсита составляет около 200 нм. Внутри реек мартенсита наблюдается высокая плотность дислокаций –  $9 \cdot 10^{14} \text{ м}^{-2}$ . После закалки наблюдаются пластины карбида типа  $\text{Me}_3\text{C}$ , выделившегося в процессе самоотпуска. Кроме того, электронно-микроскопическое исследование выявило как первичные, так и вторичные карбонитриды круглой формы типа  $\text{Nb}(\text{C},\text{N})$ . Вторичные карбонитриды типа  $\text{Nb}(\text{C},\text{N})$  располагаются равномерно по объёму стали.

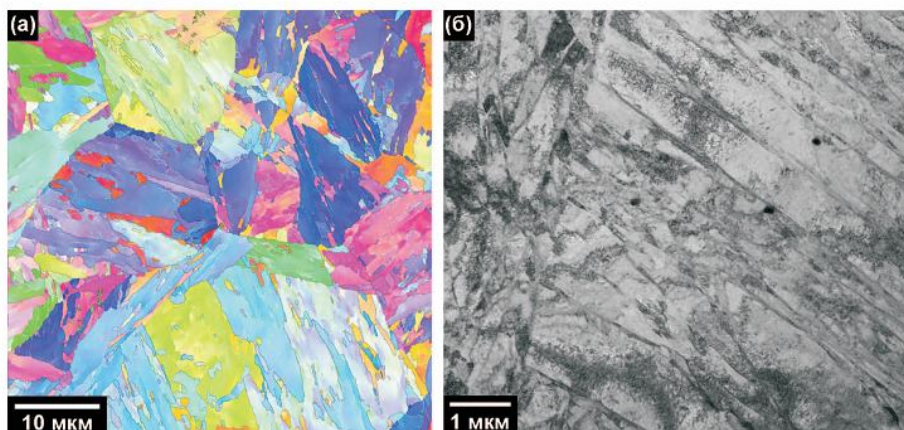


Рис. 1. Карта разориентировок (а) и микроструктура (ПЭМ) (б) стали 10X9B1M1ФБР после нормализации от  $1060^\circ\text{C}$ . Границы с разориентировкой менее и более  $15^\circ$  показаны соответственно белым и черным цветом.

### 4. Механические свойства

Влияние температуры отпуска на твёрдость показано на рис. 2а. Видно, что повышение температуры отпуска приводит к увеличению твёрдости, которая достигает своего максимума при  $500^\circ\text{C}$ . Твёрдость образца после отпуска при этой температуре на 5% выше, чем

после нормализации, т.е. сталь 10X9B1M1ФБР ведёт себя как классическая дисперсионно-упрочняемая сталь – проявляет как первичную, так и вторичную твёрдость. Дальнейшее повышение температуры приводит к непрерывному уменьшению твёрдости. После отпуска при 760°C она уменьшается почти в 2 раза по сравнению с максимумом при 500°C. Твёрдость снижается до 218 HBW, что является максимальной величиной, при которой теплотехническая сталь обладает удовлетворительной свариваемостью и может эксплуатироваться [3]. Следовательно, температура отпуска 760°C при выдержке 3 ч обеспечивает оптимальное значение твёрдости для стали 10X9B1M1ФБР.

Температурная зависимость предела текучести  $\sigma_{0,2}$  и временного сопротивления разрыву  $\sigma_B$  представлена на рис. 2б. В интервале температур испытания 200 - 400°C в стали 10X9B1M1ФБР наблюдается позитивная температурная зависимость условного предела текучести: повышение температуры деформации способствует повышению напряжений течения. Это достаточно редкий для металлических материалов феномен [4, 5]. Причём, при 400°C величина  $\sigma_{0,2} = 960$  МПа, что достаточно много для стали, содержащей всего 0,13% С.

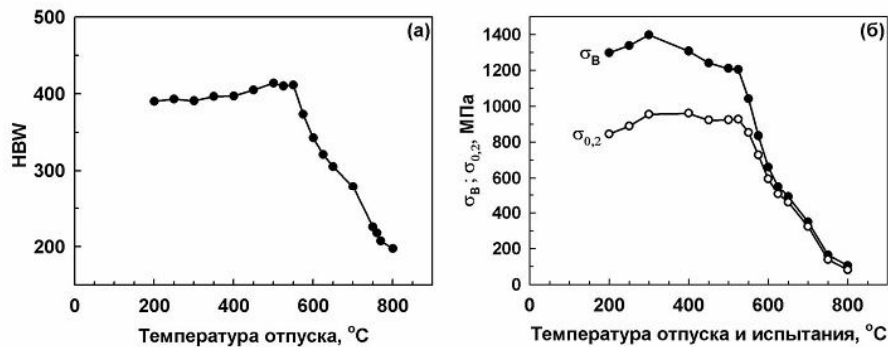


Рис. 2. Зависимость твёрдости HBW (а) от температуры отпуска и зависимость механических характеристик ( $\sigma_B$ ,  $\sigma_{0,2}$ ) от температуры отпуска и испытаний (б).

При дальнейшем повышении температуры испытаний от 525 до 800°C начинается резкое снижение характеристик прочности (рис. 2б). Следует отметить, что почти при всех температурах испытаний  $t < 575^\circ\text{C}$  отношение  $\sigma_B/\sigma_{0,2} > 1,3$ , а при  $t \geq 575^\circ\text{C}$  оно становится близко к 1. Следовательно, повышение температуры испытаний в интервале 575-800°C уменьшает величину деформационного упрочнения.

## 5. Выводы

1. Нормализация от 1060°C приводит к образованию пакетного мартенсита с поперечным размером реек 200 нм и плотностью дислокаций  $9 \cdot 10^{14} \text{ м}^{-2}$ .
2. Температура отпуска 760°C при выдержке 3 ч обеспечивает оптимальное значение твёрдости для стали 10X9B1M1ФБР.

Работа выполнена на оборудовании Центра коллективного пользования научным оборудованием Белгородского государственного университета при финансовой поддержке Федерального агентства по образованию, в рамках государственного контракта № П846.

### Литература

1. Vaillant J.C., Vandenberghe B., Hahn B., Heuser H., Jochum C. // T/P23, 24, 911 and 92: New grades for advanced coal-fired power plants-properties and experience // Inter. J. Press. Vess. Pip. – 2008. – 85. – P.38-46.
2. Ennis P.J., Czyrska-Filemonowicz A. Recent Advances in Creep Resistant Steels for Power Plant Applications // Operation Maintenance Mater. Issue. – 2002. – 1;1. – P.1-28.
3. Naarmann K., Vaillant J.C., Vandenberghe B. Bendick W., Arbab A. Vallourec & Mannesmann Tubes. The T91/P91 book. – 2002. – P.62.
4. Couret A., Caillard D. Prismatic slip in beryllium. I. The controlling mechanism at the peak temperature // Phil. Mag. A. – 1989. – 59;4. – P.783-800.
5. Кипелова А.Ю., Беляков А.Н., Скоробогатых В.Н., Шенкова И.А., Кайбышев Р.О. Структурные изменения при отпуске в стали 10X9K3B1M1ФБР и их влияние на механические свойства // Металловедение и термическая обработка металлов. – 2010. – 657;3. – С.14-25.

### INFLUENCE OF TEMPERING TEMPERATURE ON 10Kh9V1M1FBR STEEL MECHANICAL PROPERTIES

A.Yu. Kipelova, M.V. Odnobokova, I.V. Dudzich

Belgorod State University  
Pobedy St., 85, Belgorod, 308015, Russia, e-mail: kipelova@bsu.edu.ru

The result of heat treatment on static mechanical properties of 10Kh9V1M1FBR steel was studied.  
Key words: martensitic steels, tempering, microstructure, mechanical properties.